



# 第五章 频率响应法

5.1 频率特性的基本概念

5.2 典型环节的频率特性

5.3 开环系统频率特性图的绘制

5.4 控制系统的频域稳定判据

5.5 稳定裕量

5.6 开环系统频率特性与闭环系统性能的关系

5.7 闭环频率特性和频域性能指标



## 5.2典型环节的频率特性-Nyquist plots

### 5.2典型环节的频率特性-Nyquist图

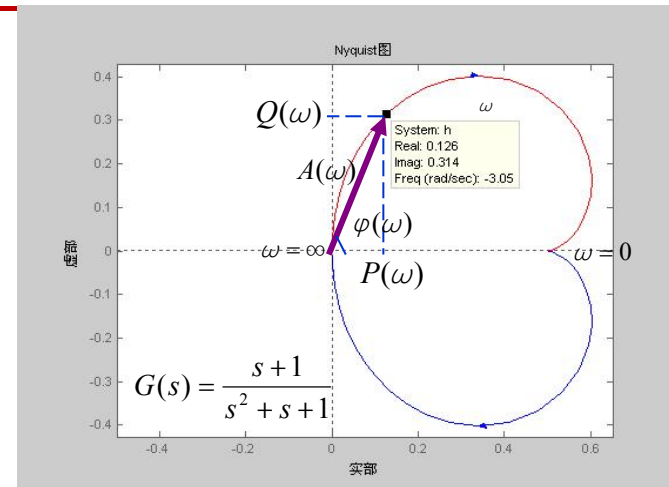
- ▶ 比例环节
- ▶ 积分环节
- ▶ 惯性环节
- ▶ 振荡环节
- ▶ 微分环节
- ▶ 延迟环节



## 5.2典型环节的频率特性-Nyquist plots

### 幅相曲线 (Nyquist plots/ Polar plots)

- 复平面 $[G]$ 上用一条曲线表示 $\omega$ 由 $0 \rightarrow \infty$ 时的频率特性：即矢量 $G(j\omega)$ 的端点轨迹形成的图形， $\omega$ 是参变量。
- 极坐标图是以开环频率特性的实部为直角坐标横坐标，以其虚部为纵坐标，以 $\omega$ 为参变量画出幅值与相位之间的关系。
- 在曲线的上的任意一点可以确定实频、虚频、幅频和相频特性。
- 根据频率特性和传递函数的关系，可知：频率特性曲线是 $s$ 平面上变量 $s$ 沿正虚轴变化时在 $G(s)$ 平面上的映射。
- 幅频特性是 $\omega$ 的偶函数，而相频特性是 $\omega$ 的奇函数，因此当 $\omega$ 从 $0 \rightarrow \infty$ 的频率特性曲线和 $\omega$ 从 $-\infty \rightarrow 0$ 的频率特性曲线是对称于实轴的。



$$\begin{aligned} G(j\omega) &= A(\omega) \angle \varphi(\omega) \\ &= P(\omega) + jQ(\omega) \end{aligned}$$

- **优点：**可在一张图上绘出整个频率域的频率响应特性；
- **缺点：**不能明显地表示出开环传递函数中每个典型环节的作用。

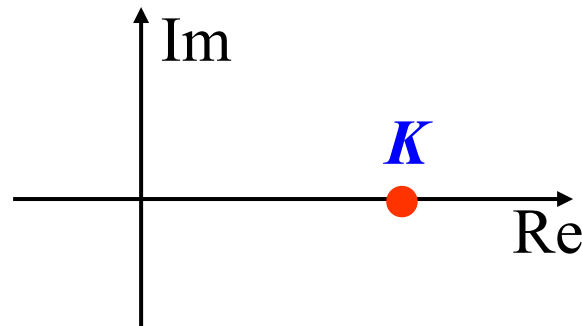


## 5.2典型环节的频率特性-Nyquist plots

1.比例环节:  $G(s) = K$ ,  $G(j\omega) = K$

实频特性:  $P(\omega) = K$ ; 虚频特性:  $Q(\omega) = 0$ ;

幅频特性:  $A(\omega) = K$ ; 相频特性:  $\varphi(\omega) = 0$



比例环节的极坐标图为实轴上的 $K$ 点。



## 5.2典型环节的频率特性-Nyquist plots

2.积分环节:  $G(s) = \frac{1}{s}$

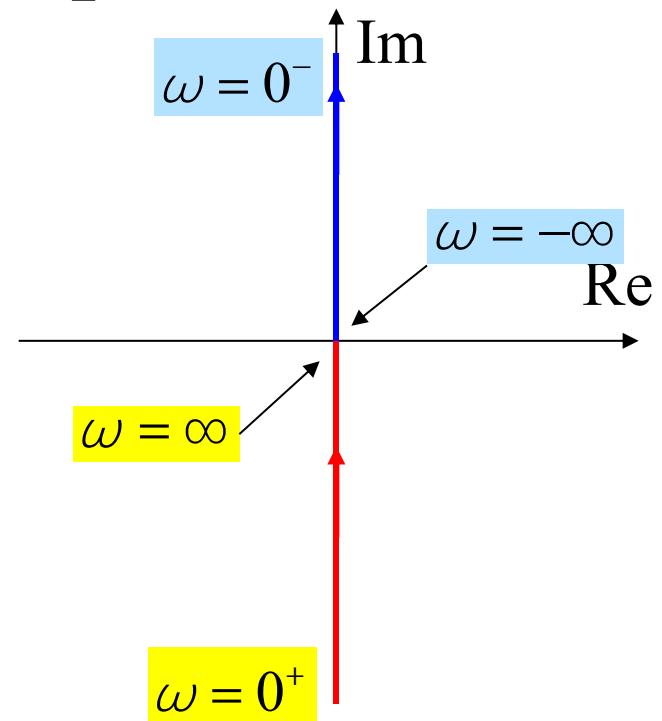
$$\text{频率特性: } G(j\omega) = \frac{1}{j\omega} = -j \frac{1}{\omega} = \frac{1}{\omega} e^{-j \frac{\pi}{2}}$$

$$A(\omega) = \frac{1}{\omega} \quad \varphi(\omega) = \arctan\left(-\frac{1}{\omega} / 0\right) = -\frac{\pi}{2}$$

$$P(\omega) = 0 \quad Q(\omega) = -\frac{1}{\omega}$$

积分环节的极坐标图为负虚轴。  
频率 $\omega$ 从 $0^+ \rightarrow \infty$ 特性曲线由虚轴的 $-\infty$ 趋向原点。

若考虑负频率部分, 当频率 $\omega$ 从 $-\infty \rightarrow 0^-$ , 特性曲线由虚轴的原点趋向 $+\infty$ 。





## 5.2典型环节的频率特性-Nyquist plots

3.惯性环节:  $G(s) = \frac{1}{Ts + 1}, \quad G(j\omega) = \frac{1}{Tj\omega + 1}$

$$A(\omega) = \frac{1}{\sqrt{1 + T^2\omega^2}}, \quad \varphi(\omega) = -\arctan(T\omega)$$

$$P(\omega) = \frac{1}{1 + T^2\omega^2}, \quad Q(\omega) = \frac{-T\omega}{1 + T^2\omega^2}$$

$\omega = 0$ 时:  $A(0) = 1, \quad \varphi(0) = 0$

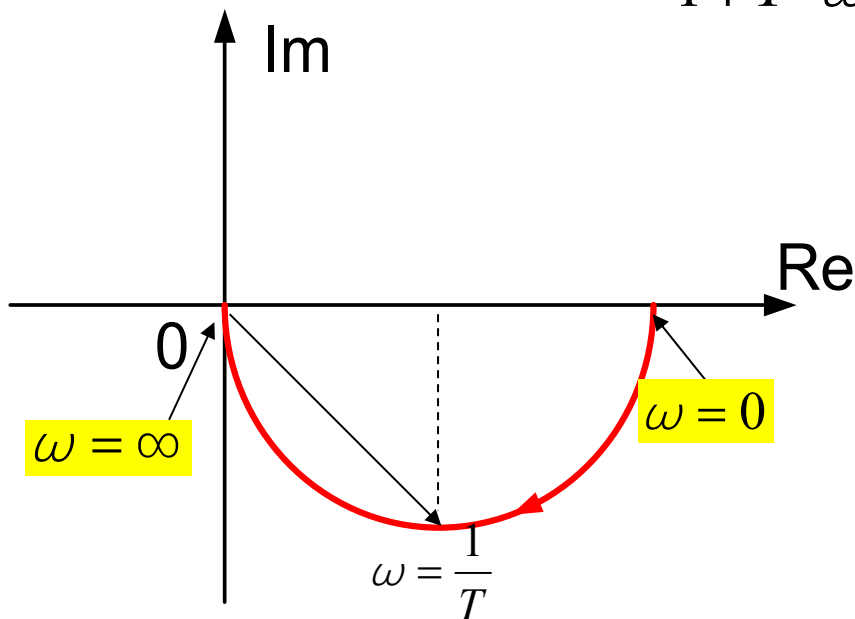
$$P(0) = 1, \quad Q(0) = 0$$

$\omega = \frac{1}{T}$ 时:  $A(\frac{1}{T}) = \frac{1}{\sqrt{2}}, \quad \varphi(\frac{1}{T}) = -45^\circ$

$$P(\frac{1}{T}) = \frac{1}{2}, \quad Q(\frac{1}{T}) = -\frac{1}{2}$$

$\omega = \infty$ 时:  $A(\infty) = 0, \quad \varphi(\infty) = -90^\circ$

$$P(\infty) = 0, \quad Q(\infty) = 0$$





## 5.2典型环节的频率特性-Nyquist plots

极坐标图是一个圆，对称于实轴。  
证明如下：

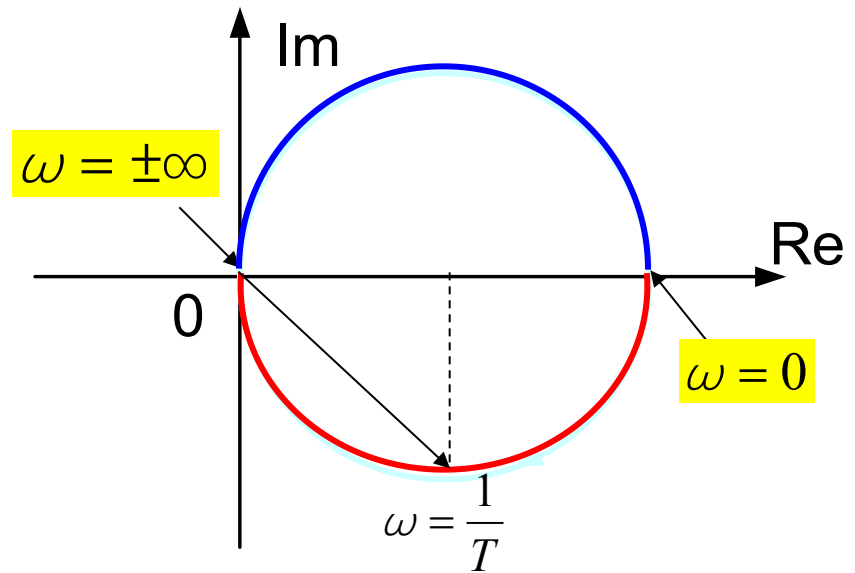
$$P(\omega) = \frac{1}{1 + T^2 \omega^2}$$

$$Q(\omega) = \frac{-T\omega}{1 + T^2 \omega^2}$$

$$\frac{Q(\omega)}{P(\omega)} = -T\omega$$

$$\therefore P = \frac{1}{1 + T^2 \omega^2} = \frac{1}{1 + \left(\frac{Q}{P}\right)^2}$$

$$\text{整理得: } \left(P - \frac{1}{2}\right)^2 + Q^2 = \left(\frac{1}{2}\right)^2$$



下半个圆对应于正频率部分，  
上半个圆对应于负频率部分。



## 5.2典型环节的频率特性-Nyquist plots

4.振荡环节: 
$$G(s) = \frac{1}{T^2 s^2 + 2\zeta Ts + 1} = \frac{\omega_n^2}{s^2 + 2\zeta\omega_n s + \omega_n^2}$$

讨论  $0 < \zeta < 1$  时的情况。

$$G(j\omega) = \frac{1}{(1 - T^2\omega^2) + j2\zeta\omega T}$$

实频、虚频、幅频和相频特性分别为:

$$P(\omega) = \frac{1 - T^2\omega^2}{(1 - T^2\omega^2)^2 + 4\zeta^2\omega^2 T^2}, \quad Q(\omega) = \frac{-2\zeta\omega T}{(1 - T^2\omega^2)^2 + 4\zeta^2\omega^2 T^2}$$

$$A(\omega) = \sqrt{P(\omega)^2 + Q(\omega)^2} = \frac{1}{\sqrt{(1 - T^2\omega^2)^2 + (2\zeta\omega T)^2}}$$

$$\varphi(\omega) = \arctan \frac{Q(\omega)}{P(\omega)} = -\arctan \frac{2\zeta\omega T}{1 - T^2\omega^2}$$





## 5.2典型环节的频率特性-Nyquist plots

$$P(\omega) = \frac{1 - T^2 \omega^2}{(1 - T^2 \omega^2)^2 + 4\zeta^2 \omega^2 T^2}$$

$$Q(\omega) = \frac{-2\zeta \omega T}{(1 - T^2 \omega^2)^2 + 4\zeta^2 \omega^2 T^2}$$

$$A(\omega) = \frac{1}{\sqrt{(1 - T^2 \omega^2)^2 + (2\zeta \omega T)^2}}$$

$$\varphi(\omega) = -\arctan \frac{2\zeta \omega T}{1 - T^2 \omega^2}$$

当  $\omega = 0$  时,  $A(\omega) = 1, \varphi(\omega) = 0$

$$P(\omega) = 1, Q(\omega) = 0$$

当  $\omega = \frac{1}{T}$  时,  $A(\omega) = \frac{1}{2\zeta}, \varphi(\omega) = -\frac{\pi}{2}$ ;

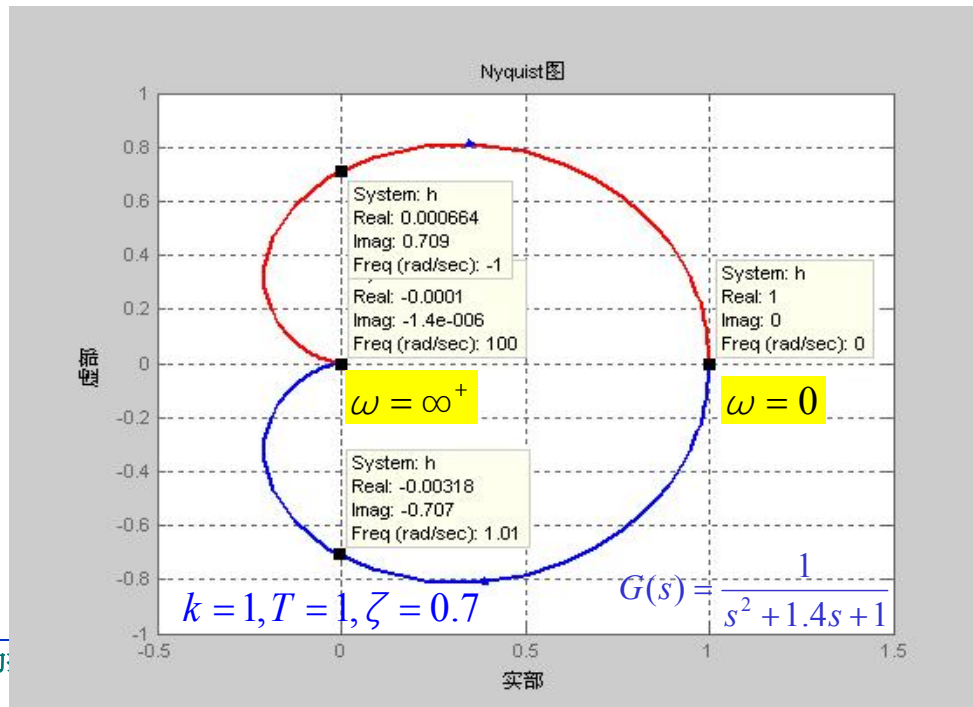
$$P(\omega) = 0, Q(\omega) = -\frac{1}{2\zeta}$$

当  $\omega = \infty$  时,  $A(\omega) = 0, \varphi(\omega) = -\pi$

$$P(\omega) = 0, Q(\omega) = 0$$

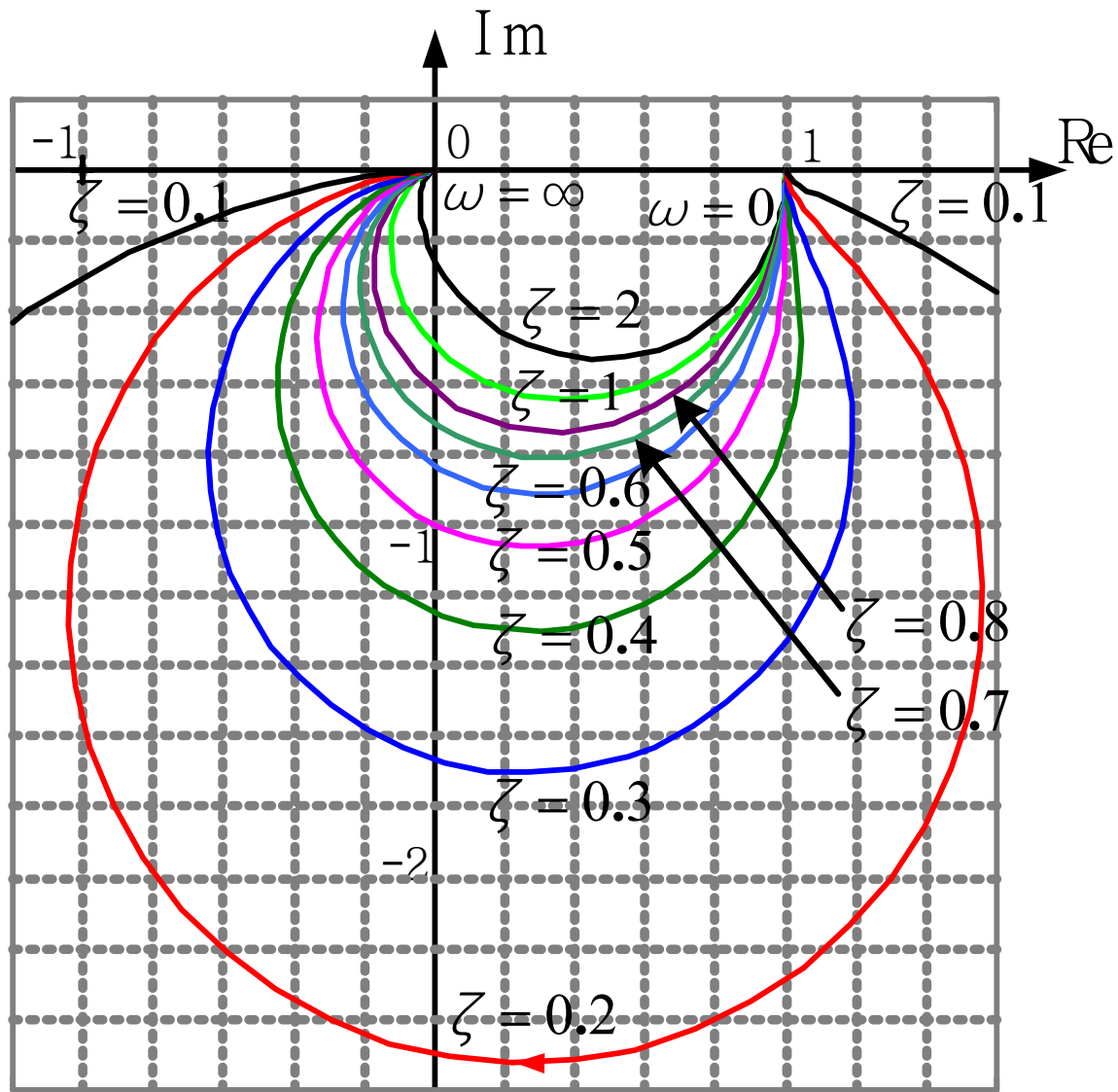
当  $\omega \geq 0$  时,  $Q(\omega) \leq 0$ ,  
曲线在3, 4象限; 当  
 $\omega < 0$  时, 与之对称  
于实轴。

实际曲线还与阻尼系数  
有关。





## 5.2典型环节的频率特性-Nyquist plots



由图可见无论是欠阻尼还是过阻尼系统，其图形的基本形状是相同的。

当  $\zeta \leq \frac{1}{\sqrt{2}}$  时，  
有谐振峰值。

$$\omega_r = \frac{\sqrt{1-2\zeta^2}}{T}$$

$$A_r = \frac{1}{2\zeta\sqrt{1-\zeta^2}}$$



## 5.2典型环节的频率特性-Nyquist plots

谐振峰值  $M_r$ : 幅频达到的最大值

谐振频率  $\omega_r$ : 谐振峰值对应的输入信号频率

$$|G| = 1 / \sqrt{[1 - \frac{\omega^2}{\omega_n^2}]^2 + [2\xi \frac{\omega}{\omega_n}]^2}$$

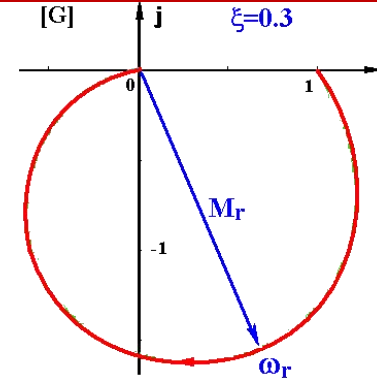
$$\frac{d}{d\omega} |G| = 0$$

$$\frac{d}{d\omega} \left\{ [1 - \frac{\omega^2}{\omega_n^2}]^2 + [2\xi \frac{\omega}{\omega_n}]^2 \right\} = 0$$

$$2[1 - \frac{\omega^2}{\omega_n^2}] [-2(\frac{\omega}{\omega_n^2})] + 2[2\xi \frac{\omega}{\omega_n}] (\frac{2\xi}{\omega_n}) = 0$$

$$\frac{4\omega}{\omega_n^2} [-1 + \frac{\omega^2}{\omega_n^2} + 2\xi^2] = 0$$

$$\frac{\omega^2}{\omega_n^2} = 1 - 2\xi^2 \begin{cases} \omega_r = \omega_n \sqrt{1 - 2\xi^2} \\ M_r = |G(j\omega_r)| = \frac{1}{2\xi \sqrt{1 - \xi^2}} \end{cases}$$



例3: 当  $\xi = 0.3$ ,  $\omega_n = 1$  时:

$$\begin{cases} \omega_r = 1 \times \sqrt{1 - 2 \times 0.3^2} = 0.9055 \\ M_r = \frac{1}{2 \times 0.3 \sqrt{1 - 0.3^2}} = 1.832 \end{cases}$$

物理意义

- 表明系统在频率  $\omega_r$  的正弦输入信号作用下, 有共振倾向;
- 一般而言,  $M_r$  越大, 系统的平稳性越差, 系统阶跃响应将产生较大的超调量。



## 5.2典型环节的频率特性-Nyquist plots

谐振频率  $\omega_r = \omega_n \sqrt{1 - 2\xi^2}$

谐振峰值  $M_r = \frac{1}{2\xi\sqrt{1 - \xi^2}}$

$\xi > 0.707$   
 $(\beta < 45^\circ)$

$1 - 2\xi^2 < 0$

$\omega_r, M_r$  不存在

$\xi = 0.707$   
 $(\beta = 45^\circ)$

$1 - 2\xi^2 = 0$

$\begin{cases} \omega_r = 0 \\ M_r = 1 \end{cases}$

$0 < \xi < 0.707$   
 $(45^\circ < \beta < 90^\circ)$

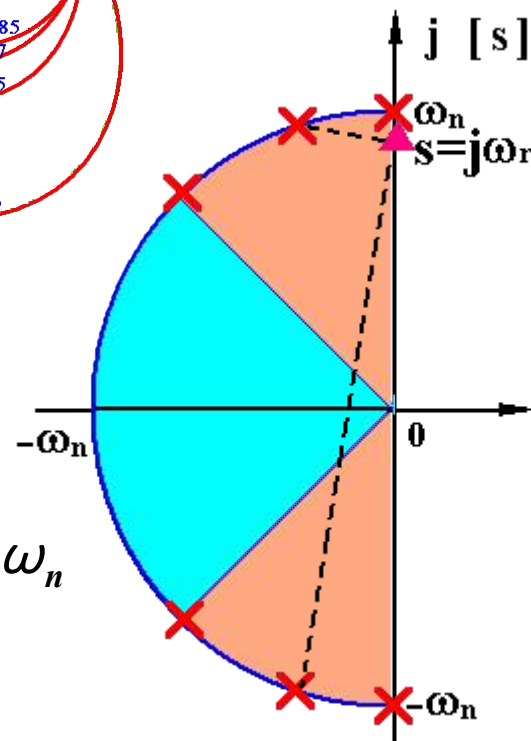
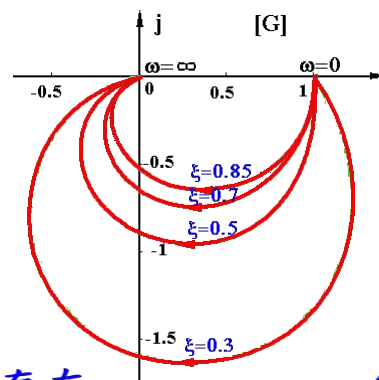
$1 - 2\xi^2 > 0$

$\begin{cases} \omega_r = \omega_n \sqrt{1 - 2\xi^2} < \omega_n \\ M_r = \frac{1}{2\xi\sqrt{1 - \xi^2}} > 1 \end{cases}$

$\xi = 0$   
 $(\beta = 90^\circ)$

$1 - 2\xi^2 = 1$

$\begin{cases} \omega_r = \omega_n \\ M_r = \infty \end{cases}$





## 5.2典型环节的频率特性-Nyquist plots

### 5. 微分环节:

微分环节有三种：纯微分、一阶微分和二阶微分。传递函数分别为：

$$G(s) = s$$

$$G(s) = 1 + Ts$$

$$G(s) = T^2 s^2 + 2\zeta Ts + 1$$

频率特性分别为：

$$G(j\omega) = j\omega$$

$$G(j\omega) = 1 + jT\omega$$

$$G(j\omega) = 1 - T^2\omega^2 + j2\zeta\omega T$$



## 5.2典型环节的频率特性-Nyquist plots

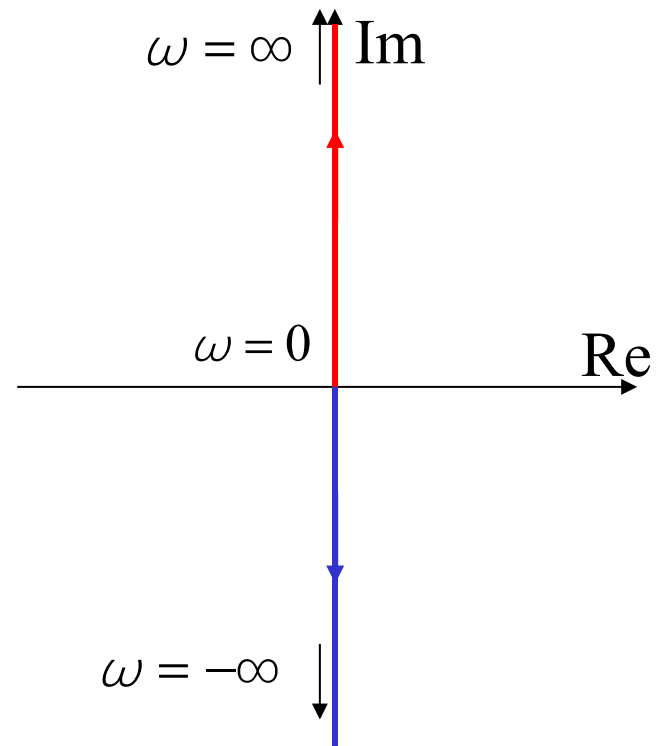
①纯微分环节:

$$G(s) = s \quad G(j\omega) = j\omega$$

$$A(\omega) = \omega, \quad \varphi(\omega) = \begin{cases} \frac{\pi}{2}, \omega \geq 0 \\ -\frac{\pi}{2}, \omega < 0 \end{cases}$$

$$P(\omega) = 0, \quad Q(\omega) = \omega$$

微分环节的极坐标图为正虚轴。频率 $\omega$ 从 $0 \rightarrow \infty$ 特性曲线由原点趋向虚轴的 $+\infty$ 。





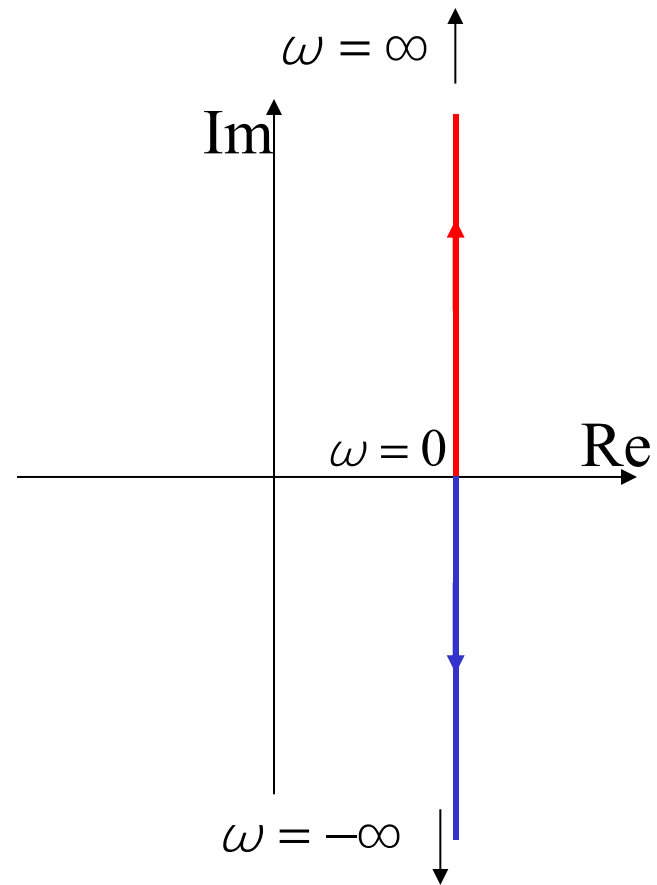
## 5.2典型环节的频率特性-Nyquist plots

②一阶微分:  $G(s) = Ts + 1$        $G(j\omega) = Tj\omega + 1$

$$A(\omega) = \sqrt{1 + T^2\omega^2}, \quad \varphi(\omega) = \arctan(T\omega)$$

$$P(\omega) = 1, \quad Q(\omega) = T\omega$$

一阶微分环节的极坐标图  
为平行于虚轴的直线。频  
率 $\omega$ 从 $0 \rightarrow \infty$ 特性曲线相当  
于纯微分环节的特性曲线  
向右平移一个单位。



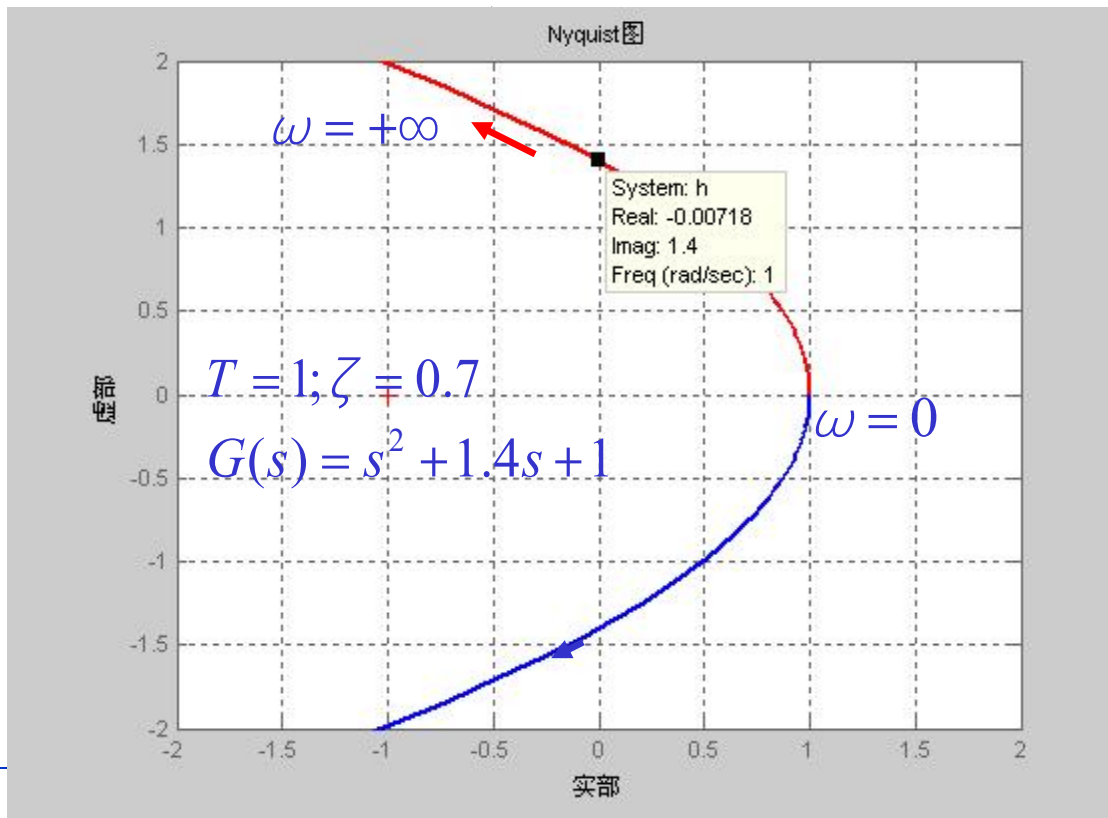


## 5.2典型环节的频率特性-Nyquist plots

③二阶微分环节:  $G(s) = T^2 s^2 + 2\zeta Ts + 1$

幅频和相频特性为:

$$A(\omega) = \sqrt{(1 - T^2 \omega^2)^2 + (2\zeta \omega T)^2}, \quad \varphi(\omega) = \arctan \frac{2\zeta \omega T}{1 - T^2 \omega^2}$$
$$P(\omega) = 1 - T^2 \omega^2, \quad Q(\omega) = 2\zeta \omega T$$







## 5.2典型环节的频率特性-Nyquist plots

### 6.延迟环节:

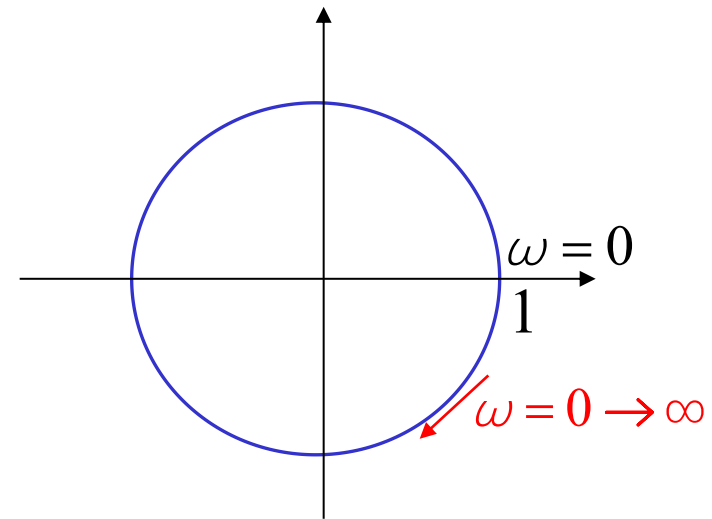
传递函数:  $G(s) = e^{-Ts}$

频率特性:  $G(j\omega) = e^{-jT\omega}$

幅频特性:  $A(\omega) = 1$

相频特性:

$$\begin{aligned}\varphi(\omega) &= -\omega T(\text{rad}) \\ &= -57.3\omega T(\text{deg})\end{aligned}$$



极坐标图是一个圆心在原点, 半径为1的圆。



## 5.2典型环节的频率特性-Nyquist plots

### 小结

- ❑ 比例环节的极坐标图
- ❑ 积分环节的极坐标图
- ❑ 惯性环节的极坐标图—极坐标图为圆。
- ❑ 振荡环节的极坐标图
- ❑ 微分环节的极坐标图—有三种形式：纯微分、一阶微分和二阶微分。
- ❑ 延迟环节的极坐标图



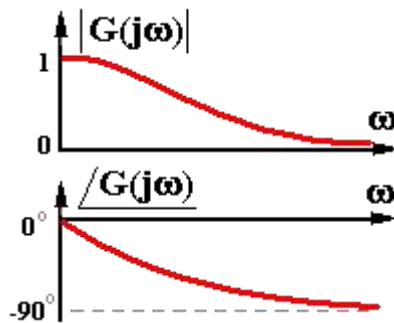
## 5.2典型环节的频率特性-Nyquist plots

### 频率特性的四种表示方法复习

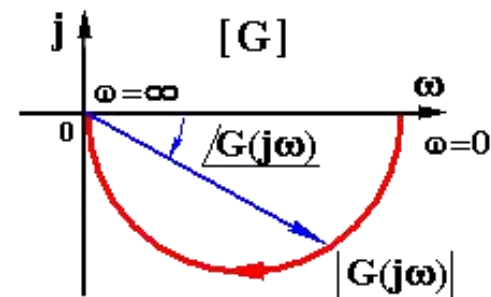
以  $G(j\omega) = \frac{1}{Ts + 1} \Big|_{s=j\omega}$  为例。

#### I. 频率特性

幅频  $|G(j\omega)|$   
相频  $\angle G(j\omega)$

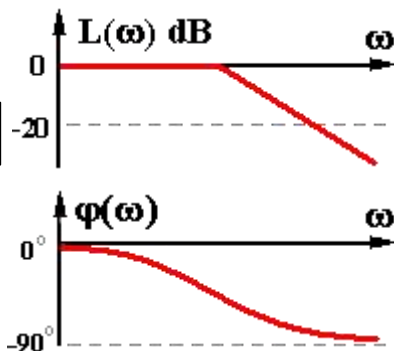


#### II. 幅相特性(Nyquist)

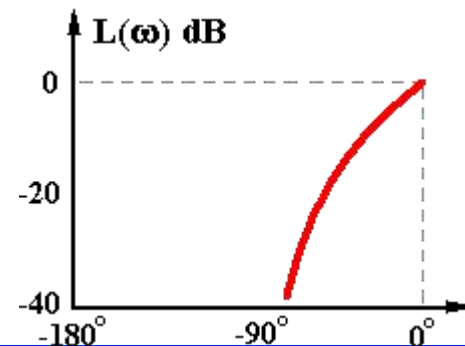


#### III. 对数频率特性(Bode)

对数幅频  
 $L(\omega) = 20 \lg |G(j\omega)|$   
对数相频  
 $\varphi(\omega) = \angle G(j\omega)$



#### IV. 对数幅相特性(Nichols)

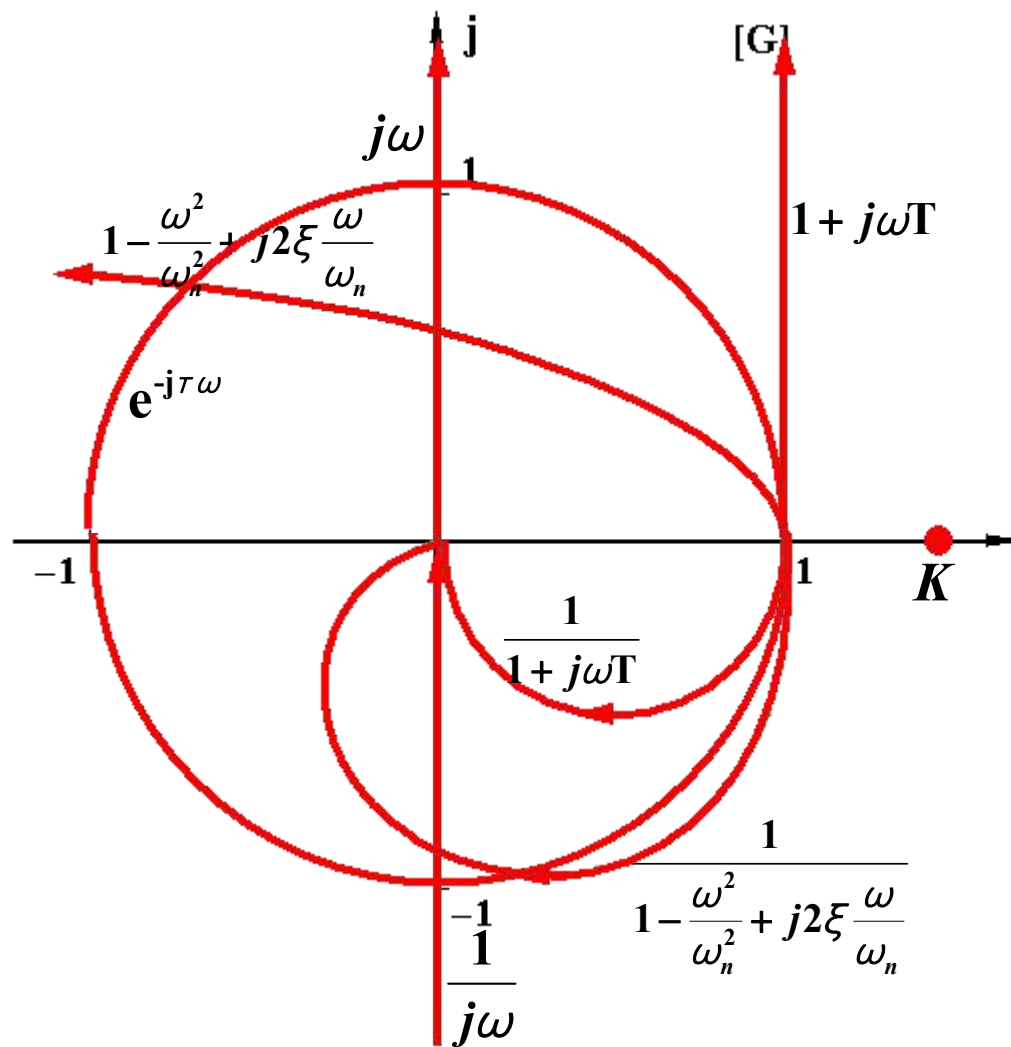




## 5.2典型环节的频率特性-Nyquist plots

### 典型环节频率特性的Nyquist图复习

- (1)  $G(j\omega) = K$
- (2)  $G(j\omega) = j\omega$
- (3)  $G(j\omega) = 1/j\omega$
- (4)  $G(j\omega) = 1/(+1 + j\omega T)$
- (5)  $G(j\omega) = +1 + j\omega T$
- (6)  $G(j\omega) = 1/\left(1 - \frac{\omega^2}{\omega_n^2} + j2\xi\frac{\omega}{\omega_n}\right)$
- (7)  $G(j\omega) = 1 - \frac{\omega^2}{\omega_n^2} + j2\xi\frac{\omega}{\omega_n}$
- (8)  $G(j\omega) = e^{-j\tau\omega}$





## 5.2典型环节的频率特性-Nyquist plots

### 二、增加零极点对极坐标图形状的影响

设  $G_1(s) = \frac{1}{T_1s + 1}$

$$A(\omega) = \frac{1}{\sqrt{1 + T_1^2 \omega^2}}$$

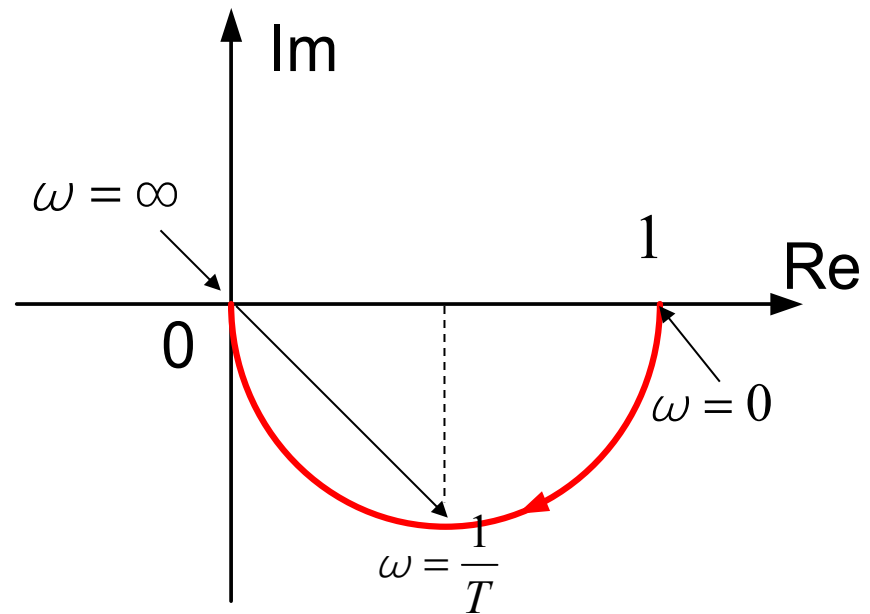
$$\varphi(\omega) = -\arctan(T_1 \omega)$$

$$P(\omega) = \frac{1}{1 + T_1^2 \omega^2}$$

$$Q(\omega) = \frac{-T_1 \omega}{1 + T_1^2 \omega^2}$$

当  $\omega = 0$  时,  $A(\omega) = 1$ ,  $\varphi(\omega) = 0$ ,  $P(\omega) = 1$ ,  $Q(\omega) = 0$

当  $\omega = \infty$  时,  $A(\omega) = 0$ ,  $\varphi(\omega) = -\frac{\pi}{2}$ ,  $P(\omega) = 0$ ,  $Q(\omega) = 0$





## 5.2典型环节的频率特性-Nyquist plots

### 1. 增加有限极点

设  $G_2(s) = \frac{1}{(T_1s + 1)(T_2s + 1)}$

$$A(\omega) = \frac{1}{\sqrt{1 + T_1^2\omega^2} \sqrt{1 + T_2^2\omega^2}}$$

$$\varphi(\omega) = -\arctan(T_1\omega) - \arctan(T_2\omega)$$

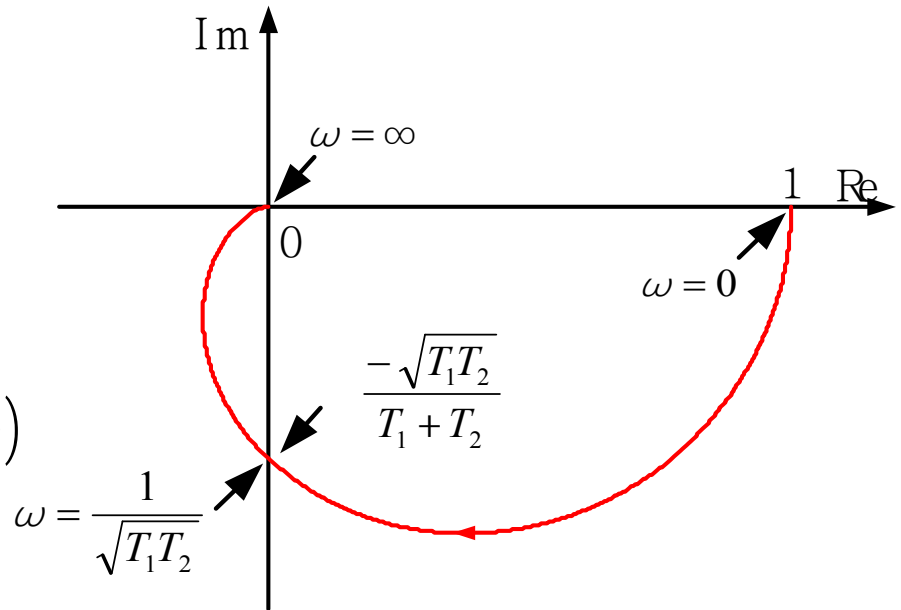
$$P(\omega) = \frac{1 - T_1T_2\omega^2}{(1 + T_1^2\omega^2)(1 + T_2^2\omega^2)}$$

$$Q(\omega) = \frac{-\omega(T_1 + T_2)}{(1 + T_1^2\omega^2)(1 + T_2^2\omega^2)}$$

当  $\omega = 0$  时,  $A(\omega) = 1$ ,  $\varphi(\omega) = 0$ ,  $P(\omega) = 1$ ,  $Q(\omega) = 0$

当  $\omega = \infty$  时,  $A(\omega) = 0$ ,  $\varphi(\omega) = -\pi$ ,  $P(\omega) = 0$ ,  $Q(\omega) = 0$

令  $P(\omega) = 0$ , 解得  $\omega = \frac{1}{\sqrt{T_1T_2}}$ , 此时  $Q(\omega) = \frac{-\sqrt{T_1T_2}}{T_1 + T_2}$





## 5.2典型环节的频率特性-Nyquist plots

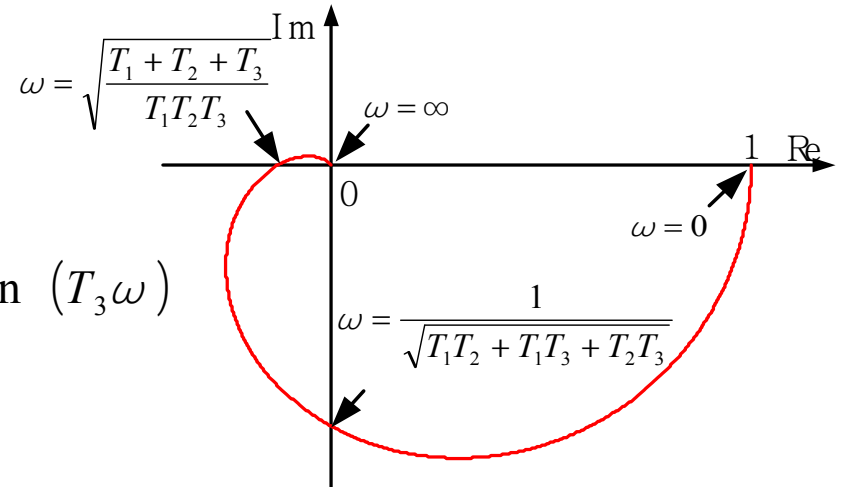
$$\text{设 } G_3(s) = \frac{1}{(T_1s + 1)(T_2s + 1)(T_3s + 1)}$$

$$A(\omega) = \frac{1}{\sqrt{1 + T_1^2 \omega^2} \sqrt{1 + T_2^2 \omega^2} \sqrt{1 + T_3^2 \omega^2}}$$

$$\varphi(\omega) = -\arctan(T_1\omega) - \arctan(T_2\omega) - \arctan(T_3\omega)$$

$$P(\omega) = \frac{1 - \omega^2(T_1T_2 + T_1T_3 + T_2T_3)}{(1 + T_1^2\omega^2)(1 + T_2^2\omega^2)(1 + T_3^2\omega^2)}$$

$$Q(\omega) = \frac{\omega(\omega^2 T_1T_2T_3 - T_1 - T_2 - T_3)}{(1 + T_1^2\omega^2)(1 + T_2^2\omega^2)(1 + T_3^2\omega^2)}$$



当  $\omega = 0$  时,  $A(\omega) = 1$ ,  $\varphi(\omega) = 0$ ,  $P(\omega) = 1$ ,  $Q(\omega) = 0$

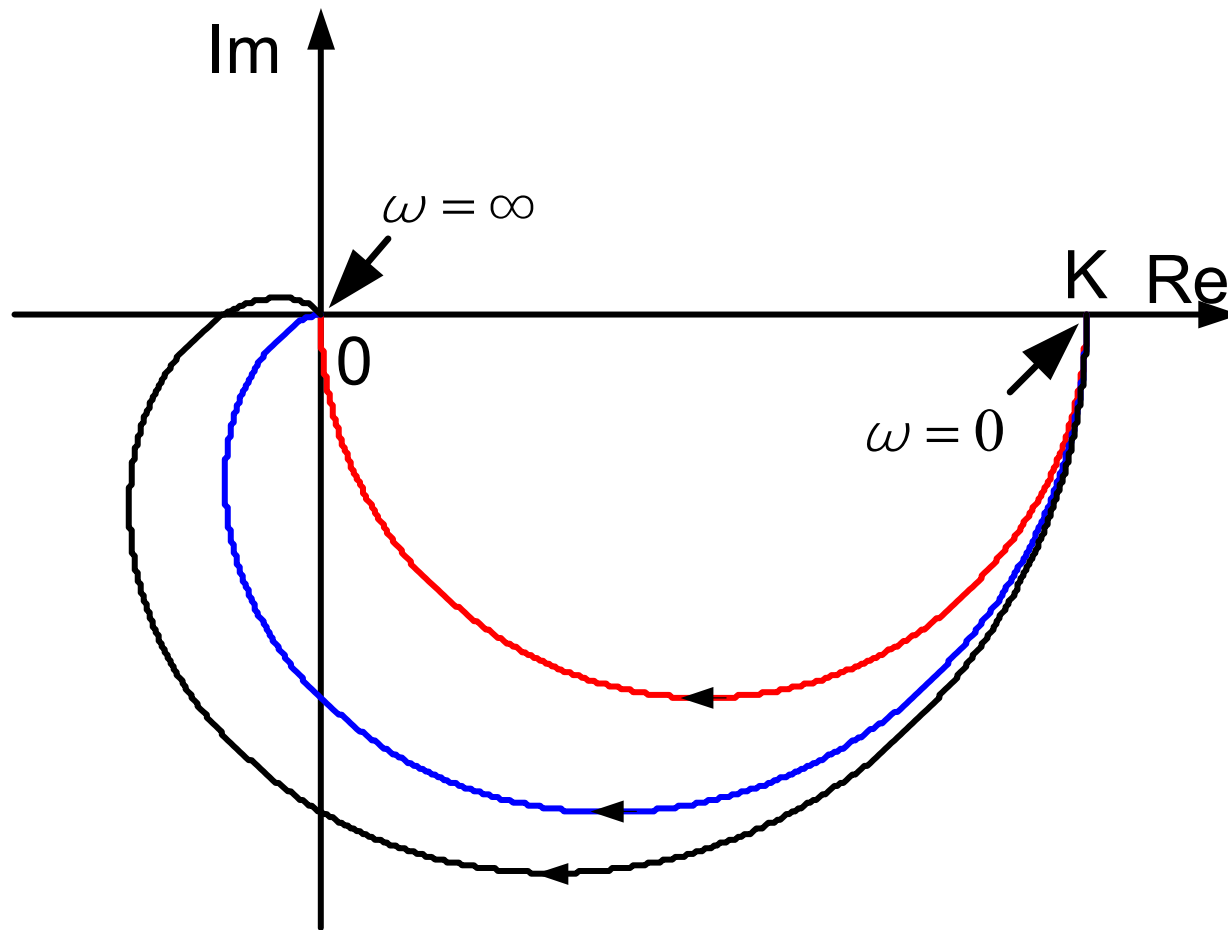
当  $\omega = \infty$  时,  $A(\omega) = 0$ ,  $\varphi(\omega) = -\frac{3\pi}{2}$ ,  $P(\omega) = 0$ ,  $Q(\omega) = 0$

令  $P(\omega) = 0$ , 解得  $\omega = \frac{1}{\sqrt{T_1T_2 + T_1T_3 + T_2T_3}}$ , 此时与虚轴相交;

令  $Q(\omega) = 0$ , 解得  $\omega = 0$  和  $\omega = \sqrt{\frac{T_1 + T_2 + T_3}{T_1T_2T_3}}$ , 此时与实轴相交;



## 5.2典型环节的频率特性-Nyquist plots



**结论：**假如 $G(s)$ 增加 $n$ 个有限负极点(时间常数形式)，则 $G(j\omega)$ 的极坐标图在 $\omega=0$ 时幅值不变；在 $\omega \rightarrow \infty$ 时顺时针转过 $n\pi/2$ (弧度)。





## 5.2典型环节的频率特性-Nyquist plots

### 2. 增加在原点处的极点

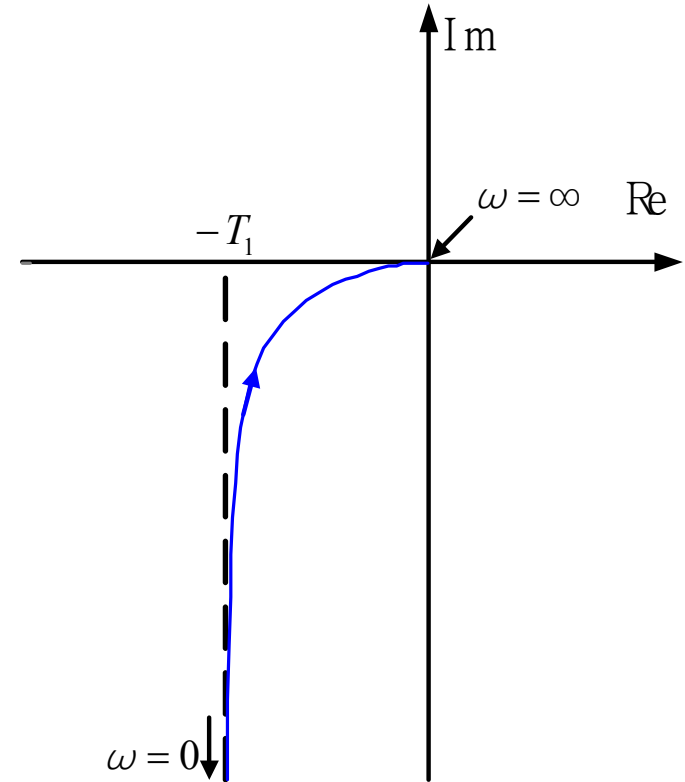
$$\text{设 } G_4(s) = \frac{1}{s(T_1s + 1)}$$

$$A(\omega) = \frac{1}{\omega\sqrt{1 + T_1^2\omega^2}}$$

$$\varphi(\omega) = -90^\circ - \arctan(T_1\omega)$$

$$P(\omega) = \frac{-T_1}{1 + T_1^2\omega^2}$$

$$Q(\omega) = \frac{-1}{\omega(1 + T_1^2\omega^2)}$$



当 $\omega = 0$ 时,  $A(\omega) = \infty$ ,  $\varphi(\omega) = -90^\circ$ ,  $P(\omega) = -T_1$ ,  $Q(\omega) = -\infty$

当 $\omega = \infty$ 时,  $A(\omega) = 0$ ,  $\varphi(\omega) = -\pi$ ,  $P(\omega) = 0$ ,  $Q(\omega) = 0$

在 $\omega$ 取有限值时与坐标轴无交点。



## 5.2典型环节的频率特性-Nyquist plots

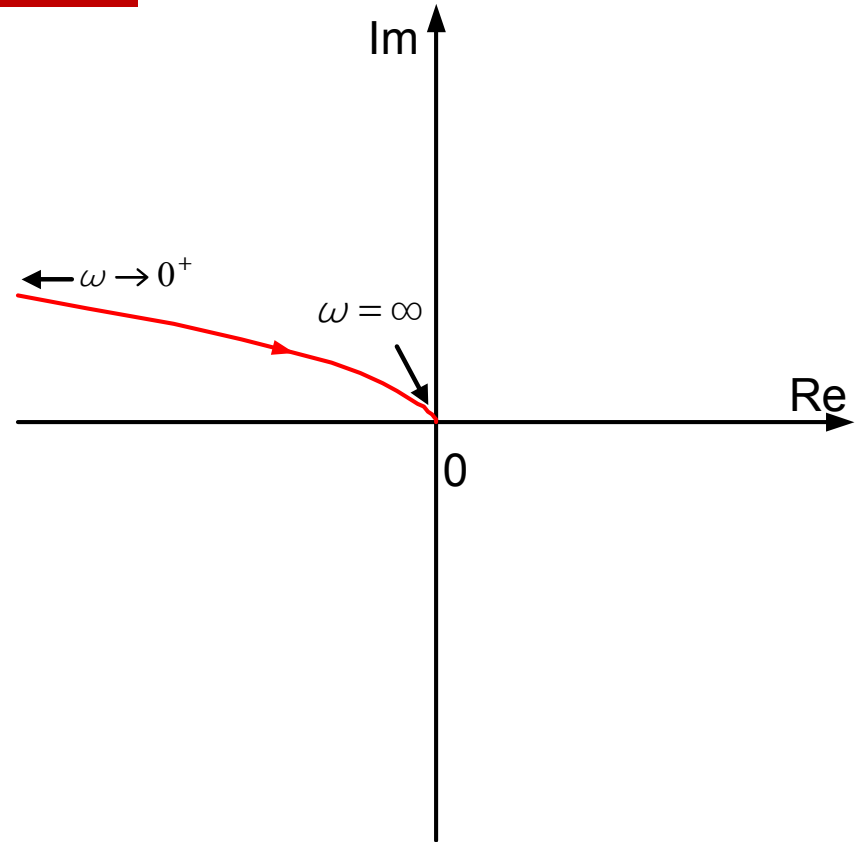
设  $G_5(s) = \frac{1}{s^2(T_1s + 1)}$

$$A(\omega) = \frac{1}{\omega^2 \sqrt{1 + T_1^2 \omega^2}}$$

$$\varphi(\omega) = -180^\circ - \arctan(T_1 \omega)$$

$$P(\omega) = \frac{-1}{\omega^2 (1 + T_1^2 \omega^2)}$$

$$Q(\omega) = \frac{T_1}{\omega (1 + T_1^2 \omega^2)}$$



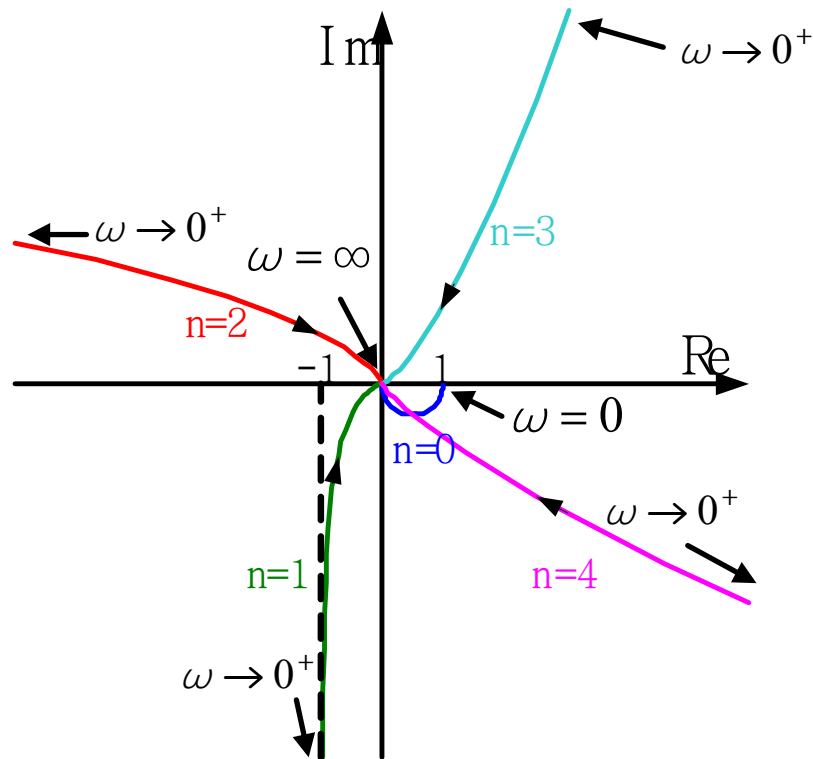
当  $\omega = 0$  时,  $A(\omega) = \infty$ ,  $\varphi(\omega) = -180^\circ$ ,  $P(\omega) = -\infty$ ,  $Q(\omega) = \infty$

当  $\omega = \infty$  时,  $A(\omega) = 0$ ,  $\varphi(\omega) = -\frac{3\pi}{2}$ ,  $P(\omega) = 0$ ,  $Q(\omega) = 0$

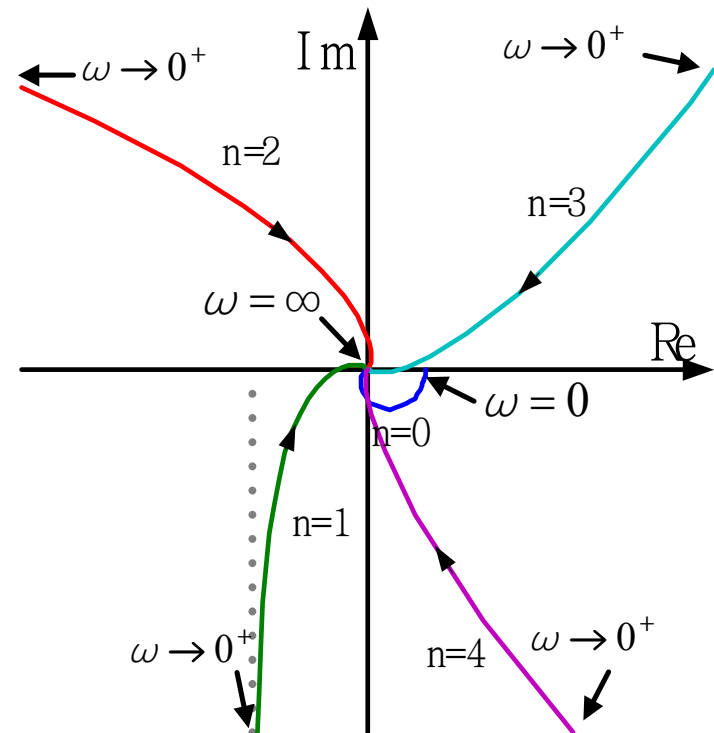
在  $\omega$  取有限值时与坐标轴无交点。



## 5.2典型环节的频率特性-Nyquist plots



$\frac{1}{s^n(s+1)}$  的极坐标图



$\frac{1}{s^n(s+1)^2}$  的极坐标图

**结论：**假如 $G(s)$ 乘上因子 $1/s^n$ ，则 $G(j\omega)$ 的极坐标图顺时针转过 $n\pi/2$ (弧度)。并且只要在原点处存在极点，极坐标图在 $\omega=0$ 的幅值为无穷大。



## 5.2典型环节的频率特性-Nyquist plots

### 3. 增加有限零点

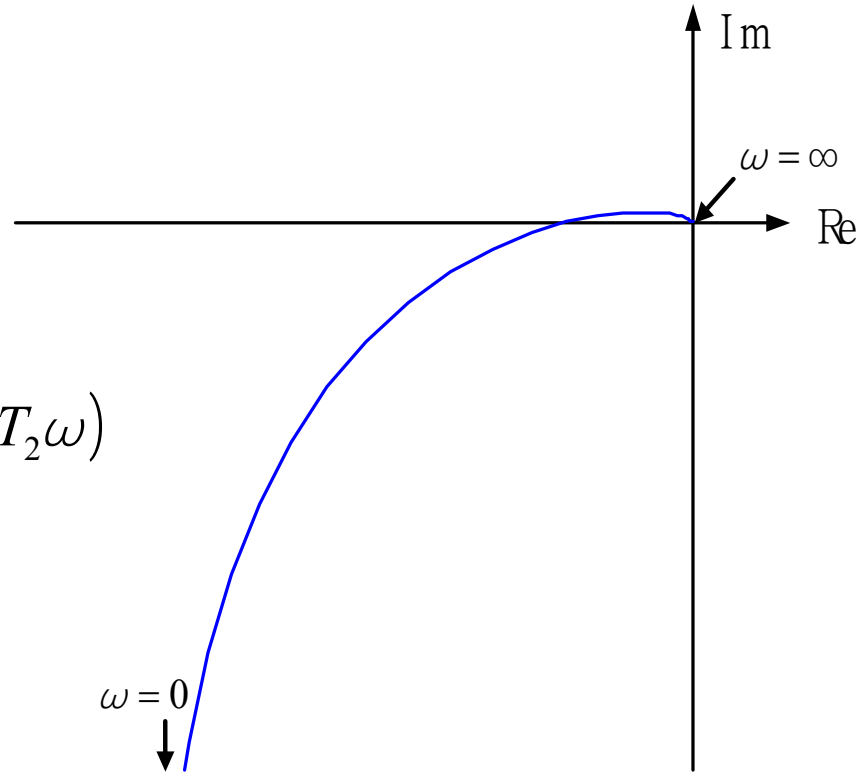
设  $G_6(s) = \frac{1}{s(T_1s + 1)(T_2s + 1)}$

$$A(\omega) = \frac{1}{\omega \sqrt{1 + T_1^2 \omega^2} \sqrt{1 + T_2^2 \omega^2}}$$

$$\varphi(\omega) = -90^\circ - \arctan(T_1\omega) - \arctan(T_2\omega)$$

$$P(\omega) = \frac{-(T_1 + T_2)}{(1 + T_1^2 \omega^2)(1 + T_2^2 \omega^2)}$$

$$Q(\omega) = \frac{-(1 - T_1 T_2 \omega^2)}{\omega(1 + T_1^2 \omega^2)(1 + T_2^2 \omega^2)}$$



当  $\omega = 0$  时,  $A(\omega) = \infty$ ,  $\varphi(\omega) = -90^\circ$ ,  $P(\omega) = -(T_1 + T_2)$ ,  $Q(\omega) = -\infty$

当  $\omega = \infty$  时,  $A(\omega) = 0$ ,  $\varphi(\omega) = -270^\circ$ ,  $P(\omega) = 0$ ,  $Q(\omega) = 0$

令  $Q(\omega) = 0$ , 解得与实轴交点  $\omega = \frac{1}{\sqrt{T_1 T_2}}$ , 交点  $P(\omega) = \frac{-T_1 T_2}{T_1 + T_2}$



## 5.2典型环节的频率特性-Nyquist plots

设 
$$G_7(s) = \frac{(T_d s + 1)}{s(T_1 s + 1)(T_2 s + 1)}$$

$$A(\omega) = \frac{\sqrt{1 + T_d^2 \omega^2}}{\omega \sqrt{1 + T_1^2 \omega^2} \sqrt{1 + T_2^2 \omega^2}}$$

$$\varphi(\omega) = \arctan(T_d \omega) - 90^\circ - \arctan(T_1 \omega) - \arctan(T_2 \omega)$$

$$P(\omega) = \frac{-(T_1 + T_2 - T_d + \omega^2 T_1 T_2 T_d)}{(1 + T_1^2 \omega^2)(1 + T_2^2 \omega^2)}$$

$$Q(\omega) = \frac{-[1 - \omega^2 (T_1 T_2 - T_1 T_d - T_2 T_d)]}{\omega(1 + T_1^2 \omega^2)(1 + T_2^2 \omega^2)}$$

当 $\omega = 0$ 时,  $A(\omega) = \infty$ ,  $\varphi(\omega) = -90^\circ$ ,  $P(\omega) = -(T_1 + T_2 - T_d)$ ,  $Q(\omega) = -\infty$

当 $\omega = \infty$ 时,  $A(\omega) = 0$ ,  $\varphi(\omega) = -180^\circ$ ,  $P(\omega) = 0$ ,  $Q(\omega) = 0$



## 5.2典型环节的频率特性-Nyquist plots

令 $Q(\omega) = 0$ , 解得与实轴交点 $\omega^2 = \frac{1}{T_1T_2 - T_1T_d - T_2T_d}$

注意与实轴交点有交点的条件为:  $T_1T_2 - T_1T_d - T_2T_d > 0$

$$T_d(T_1 + T_2) < T_1T_2 \quad \Rightarrow \quad T_d < \frac{T_1T_2}{T_1 + T_2}$$

设 $T_1 > T_2$ , 可令 $T_1 = aT_2$ ,  $a > 1$

$$\frac{T_1T_2}{T_1 + T_2} = \frac{aT_2^2}{(1+a)T_2} = \frac{a}{1+a}T_2 \quad \because \frac{a}{1+a} < 1 \quad \therefore \frac{a}{1+a}T_2 < T_2$$

即满足 $T_1 > T_2 > T_d$ 时, 与实轴有交点, 交点为

$$P(\omega) = -\left(\frac{T_1T_2}{T_1 + T_2} - T_d\right)$$

与没有零点的极坐标图比较知: 交点更靠近原点, 且当 $\omega \rightarrow \infty$ 时, 极坐标图趋于原点时的相角为 $-180^\circ$ 。

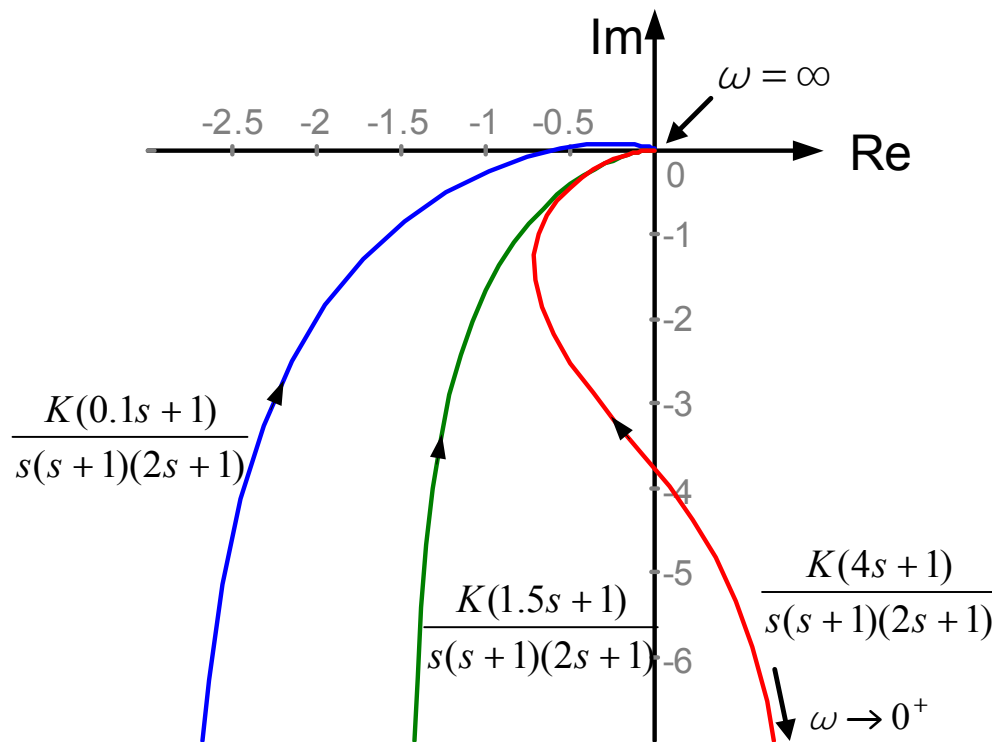


## 5.2典型环节的频率特性-Nyquist plots

若  $T_d \geq \frac{T_1 T_2}{T_1 + T_2}$ ，则极坐标图与实轴无交点。

另外令  $P(\omega) = 0$ ，解得与虚轴交点  $\omega^2 = \frac{T_d - (T_1 + T_2)}{T_1 T_2 T_d}$

即当  $T_d \geq (T_1 + T_2)$  时极坐标图将与虚轴相交。





## 5.2典型环节的频率特性-Nyquist plots

### 三、开环系统极坐标频率特性的绘制（绘制Nyquist图）

开环系统的频率特性或由典型环节的频率特性组合而成，或是一个有理分式，不论那种形式，都可由下面的方法绘制。

#### [绘制方法]:

❑ 将开环系统的频率特性写成  $P(\omega) + jQ(\omega)$  或  $A(\omega)e^{j\varphi(\omega)}$  的形式，根据不同的  $\omega$  算出  $P(\omega), Q(\omega)$  或  $A(\omega), \varphi(\omega)$  可在复平面上得到不同的点并连之为曲线。（手工画法）。

实际绘图时极坐标图画的都是近似曲线。具体来讲是根据幅频特性和相频特性确定起点(对应  $\omega=0$ )和终点(对应  $\omega=\infty$ )；根据实频特性和虚频特性确定与坐标轴的交点；然后按  $\omega$  从小到大的顺序用光滑曲线连接即可。必要时可再求一些中间的点帮助绘图。

❑ 使用MATLAB工具绘制。

极坐标图的特点是除增益以外的部分决定极坐标图的形状，而增益决定图形的大小。





## 5.2典型环节的频率特性-Nyquist plots

**例1:** 设开环系统的频率特性为:  $G(j\omega) = \frac{K}{(1+jT_1\omega)(1+jT_2\omega)}$   
试列出实频和虚频特性的表达式。当  $K=1, T_1=1, T_2=5$  绘制奈氏图。

**解:**

$$G(j\omega) = \frac{K(1-jT_1\omega)(1-jT_2\omega)}{(1+T_1^2\omega^2)(1+T_2^2\omega^2)} = \frac{K(1-T_1T_2\omega^2)}{(1+T_1^2\omega^2)(1+T_2^2\omega^2)} - j \frac{K(T_1+T_2)\omega}{(1+T_1^2\omega^2)(1+T_2^2\omega^2)} = P(\omega) + jQ(\omega)$$

当  $K=1, T_1=1, T_2=5$  时,  $P(\omega) = \frac{1-5\omega^2}{(1+\omega^2)(1+25\omega^2)}, Q(\omega) = \frac{-6\omega}{(1+\omega^2)(1+25\omega^2)}$

找出几个特殊点 (比如  $\omega=0, \infty$ , 与实、虚轴的交点等), 可大致勾勒出奈氏图。为了相对准确, 可以再算几个点。



## 5.2典型环节的频率特性-Nyquist plots

$\omega$	0	0.2	$\frac{1}{\sqrt{5}}$	0.8	$\infty$
$P(\omega)$	1	0.385	0	-0.079	0
$Q(\omega)$	0	-0.577	$-\frac{\sqrt{5}}{6}$	-0.172	0

相角:  $\varphi(\omega) = -\arctan(\omega) - \arctan(5\omega)$

$\omega$	0	0.2	$\frac{1}{\sqrt{5}}$	0.8	$\infty$
$\varphi(\omega)$	0	-56.31	-90	-114.62	-180

用上述信息可以大致勾勒出Nyquist图。

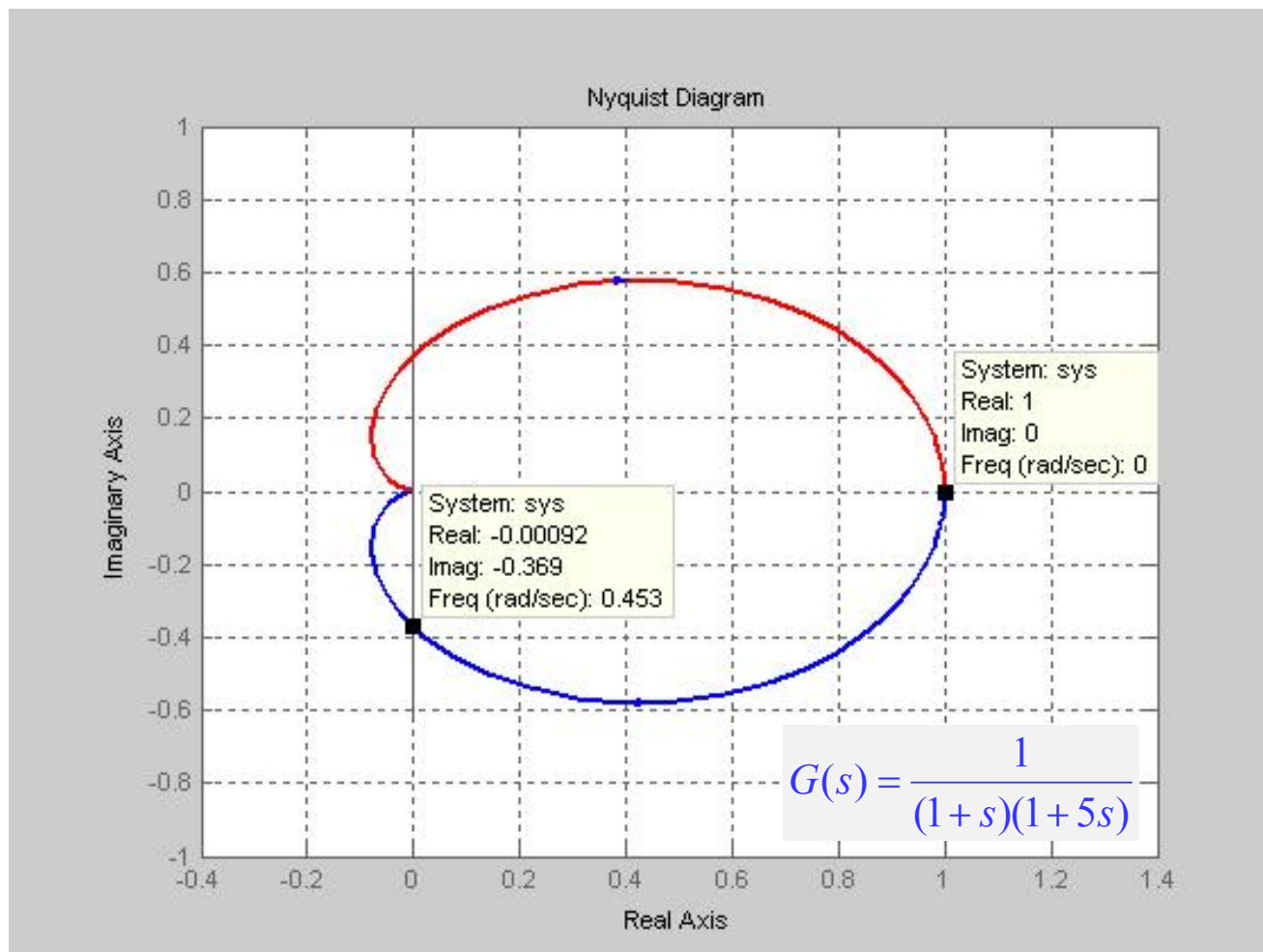


## 5.2典型环节的频率特性-Nyquist plots

下图是用 Matlab工具绘制的Nyquist图。

解:

```
N=[0 0 1];  
D=[5 6 1];  
nyquist(N,D);
```





## 5.2典型环节的频率特性-Nyquist plots

**例2:** 设开环系统的频率特性为:  $G(j\omega) = \frac{K}{j\omega(1+jT_1\omega)(1+jT_2\omega)}$   
试绘制极坐标特性曲线。

**解:** 
$$G(j\omega) = \frac{-K(T_1 + T_2)}{(1 + T_1^2\omega^2)(1 + T_2^2\omega^2)} - j \frac{K(1 - T_1T_2\omega^2)}{\omega(1 + T_1^2\omega^2)(1 + T_2^2\omega^2)} = P(\omega) + jQ(\omega)$$
$$\varphi(\omega) = -\frac{\pi}{2} - \arctan(T_1\omega) - \arctan(T_2\omega)$$

[分析]1、当  $\omega = 0$  时,  $P(0) = -K(T_1 + T_2)$ ,  $Q(0) = -\infty$ ,  $\varphi(0) = -\frac{\pi}{2}$

显然, 当  $\omega \rightarrow 0$  时,  $G(j\omega)$  的渐近线是一条通过实轴  $-K(T_1 + T_2)$  点, 且平行于虚轴的直线。

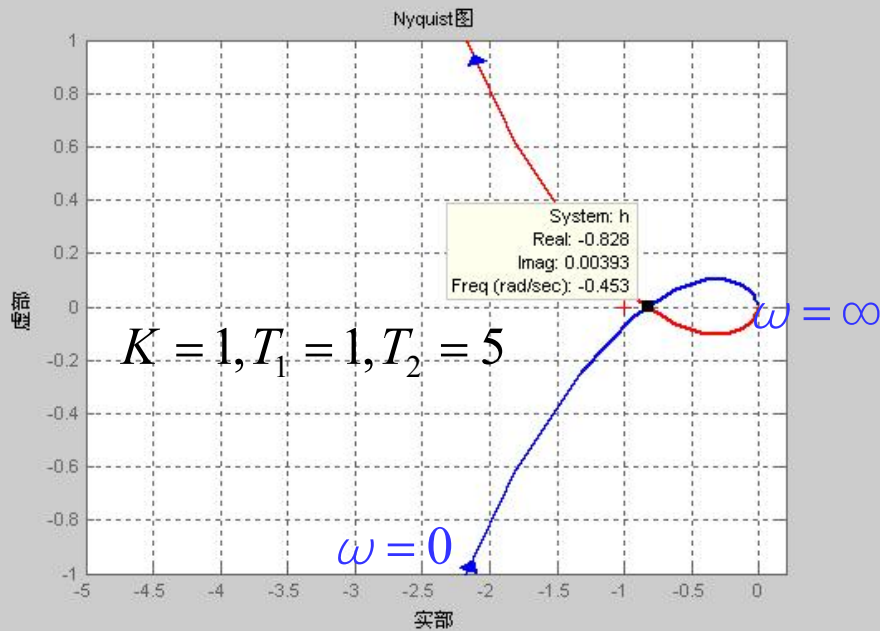
2、与实轴的交点。令:  $Q(\omega) = 0$ , 解得:  $\omega_1 = \frac{1}{\sqrt{T_1T_2}}$ , 这时:

$$P(\omega_1) = \frac{-KT_1T_2}{T_1 + T_2}$$

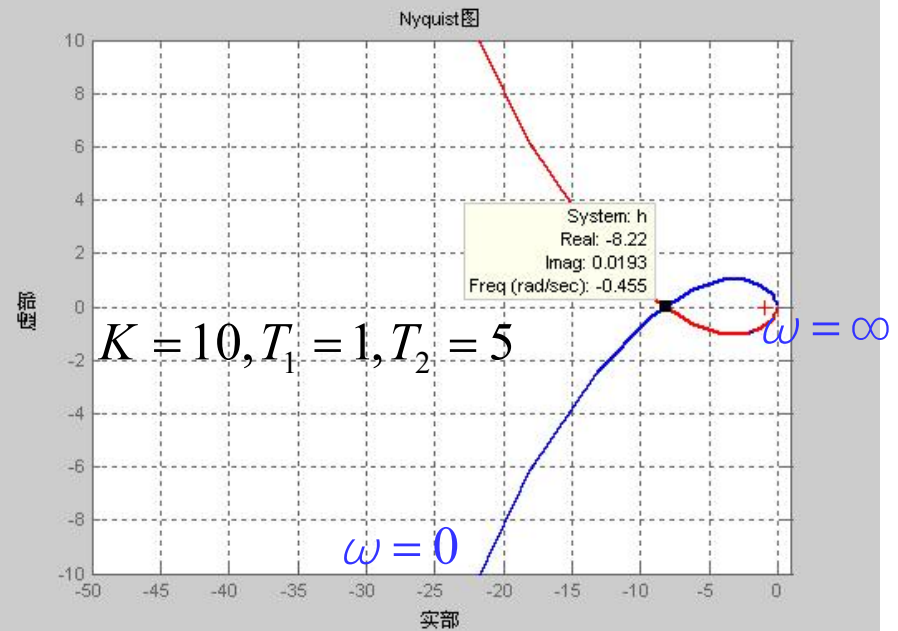
3、当  $\omega \rightarrow \infty$  时,  $P(\infty) = 0$ ,  $Q(\infty) = 0$ ,  $\varphi(\infty) = -\frac{3\pi}{2}$ , 渐近线方向向下。



## 5.2典型环节的频率特性-Nyquist plots



$$G(s) = \frac{1}{s(1+s)(1+5s)}$$



$$G(s) = \frac{10}{s(1+s)(1+5s)}$$



## 5.2典型环节的频率特性-Nyquist plots

[具有**积分环节**的系统的频率特性的特点]:

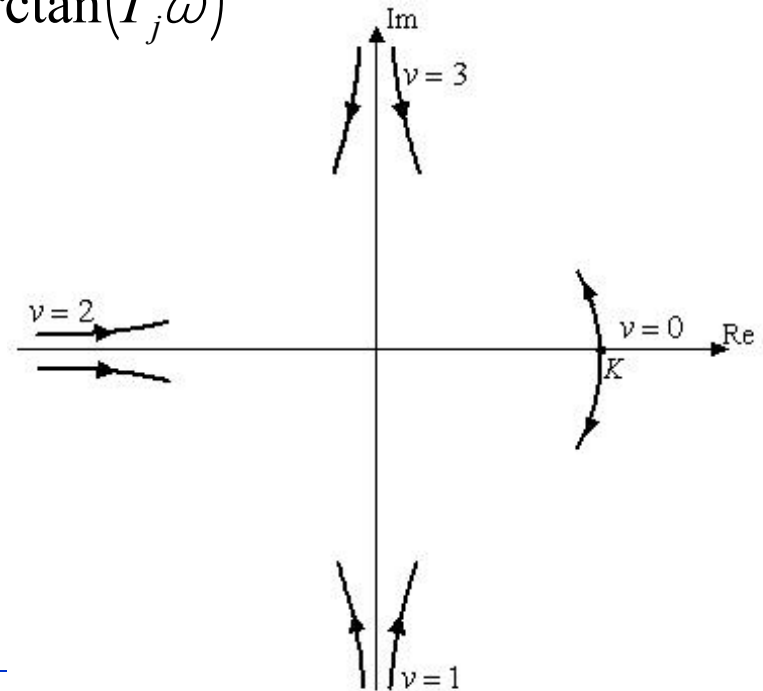
频率特性可表示为:  $G(j\omega) = \frac{1}{(j\omega)^\nu} \cdot \frac{\prod_{i=1}^m (1 + \tau_i s)}{\prod_{j=1}^{n-\nu} (1 + T_j s)}, (n \geq m)$

其相角为:

$$\varphi(\omega) = \sum_{i=1}^m \arctan(\tau_i \omega) - \nu \frac{\pi}{2} - \sum_{j=1}^{n-\nu} \arctan(T_j \omega)$$

**1. 起点** (取决于型数 $\nu$ ) :

$$G_o(j0^+) = \lim_{\omega \rightarrow 0^+} \frac{K}{(j\omega)^\nu}$$





## 5.2典型环节的频率特性-Nyquist plots

1. 起点 (取决于型数 $v$ ) :

2. 终点 (取决于 $n-m$ ) :

$\omega \rightarrow \infty$  , 此时频率特性与分子、分母多项式阶次之差 $n-m$ 有关。

终点处幅值:

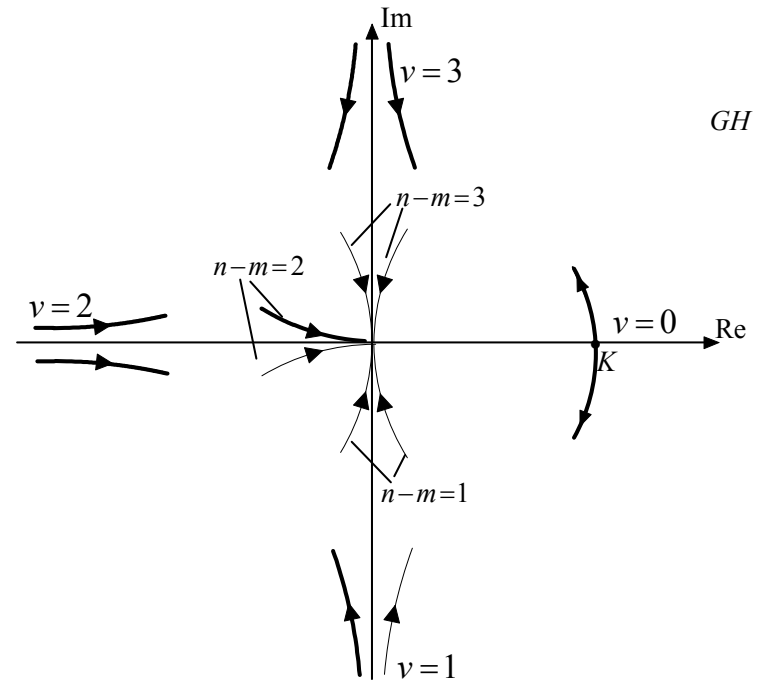
$$\lim_{\omega \rightarrow \infty} |G(j\omega)| = 0 (n > m)$$

终点处相角:

$$\lim_{\omega \rightarrow \infty} \angle G(j\omega) = -\frac{\pi}{2} (n - m)$$

结论:

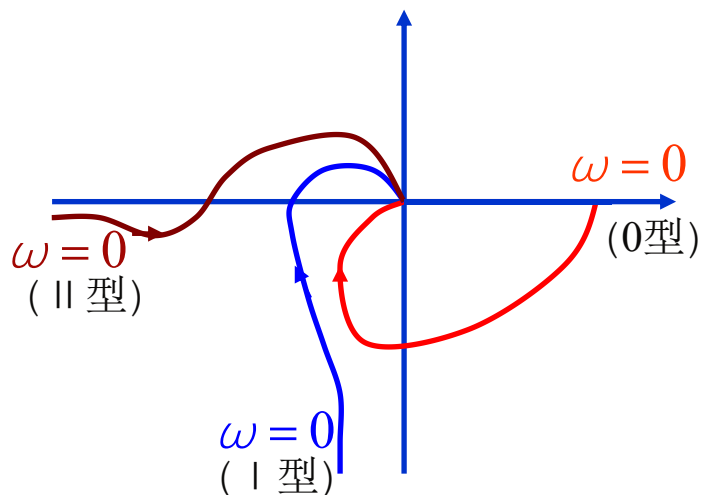
奈氏曲线沿  $-\frac{\pi}{2}(n-m)$  进入原点。





## 5.2典型环节的频率特性-Nyquist plots

下图为0型、I型和II型系统在**低频和高频段**频率特性示意图：

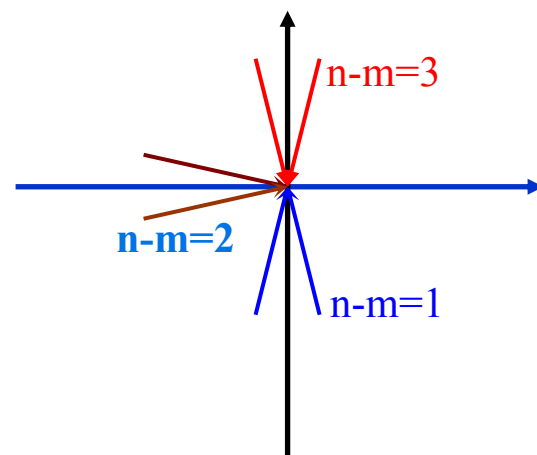


低频段频率特性

0型:  $\varphi(0) = 0, |G(0)| = 1$

1型:  $\varphi(0) = -\frac{\pi}{2}, |G(0)| = \infty$

2型:  $\varphi(0) = -\pi, |G(0)| = \infty$



高频段频率特性

$n - m = 1$ 时,  $\varphi(\infty) = -\frac{\pi}{2}$

$n - m = 2$ 时,  $\varphi(\infty) = -\pi$

$n - m = 3$ 时,  $\varphi(\infty) = -\frac{3\pi}{2}$

**中频部分**, 可计算一些特殊点的来确定。如与坐标的交点等。





## 5.2典型环节的频率特性-Nyquist plots

例3  $G(s) = \frac{s^3}{(s+0.2)(s+1)(s+5)} = \frac{s^3}{(1+5s)(1+s)(1+0.2s)}$

$$G(j0) = 0 \angle +270^\circ$$

↓  $|G| \uparrow \quad \angle G \downarrow$

$$G(j\infty) = 1 \angle 0^\circ$$

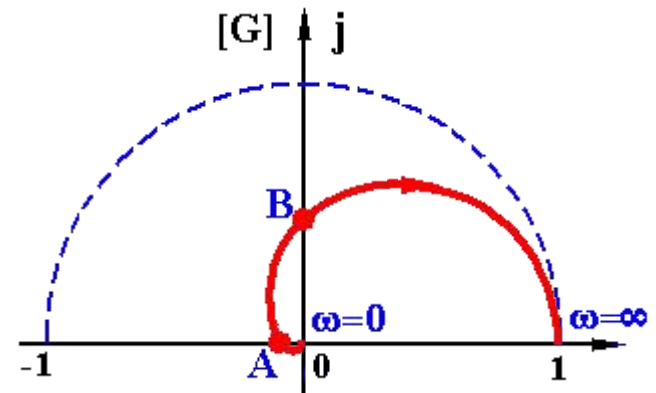
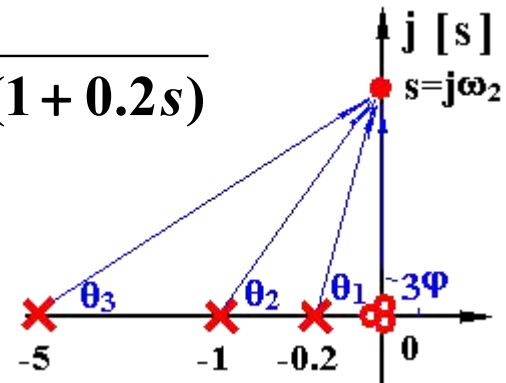
$$G(j\omega) = \frac{-j\omega^3(1-j5\omega)(1-j\omega)(1-j0.2\omega)}{(1+25\omega^2)(1+\omega^2)(1+0.04\omega^2)}$$

$$= \frac{-\omega^4(6.2-\omega^2)-j\omega^3(1-6.2\omega^2)}{(1+25\omega^2)(1+\omega^2)(1+0.04\omega^2)}$$

$$= X + jY$$

$$A: \begin{cases} \omega_A = 1/\sqrt{6.2} = 0.402 \\ G(j\omega_A) = -0.0267 + j0 \end{cases}$$

$$B: \begin{cases} \omega_B = \sqrt{6.2} = 2.49 \\ G(j\omega_B) = 0 + j0.412 \end{cases}$$





## 5.2典型环节的频率特性-Nyquist plots

例4  $G(s) = \frac{5}{s(s+1)(2s+1)}$  画 $G(j\omega)$ 曲线。

解 
$$G(j\omega) = \frac{5}{j\omega(1+j\omega)(1+j2\omega)} = \frac{-j5(1-j\omega)(1-j2\omega)}{\omega(1+\omega^2)(1+4\omega^2)}$$

$$= \frac{-15}{(1+\omega^2)(1+4\omega^2)} - j \frac{5(1-2\omega^2)}{\omega(1+\omega^2)(1+4\omega^2)}$$

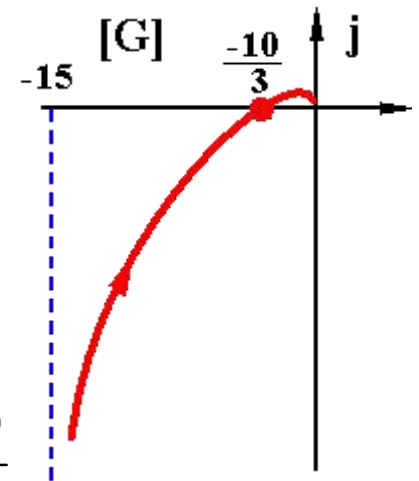
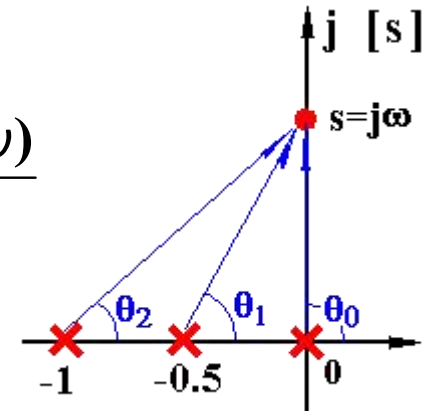
$$G(j0) = \infty \angle -90^\circ$$

$$G(j\infty) = 0 \angle -270^\circ$$

渐近线:  $\text{Re}[G(j0)] \Rightarrow -15$

与实轴交点:  $\text{Im}[G(j\omega)] = 0 \Rightarrow \omega = 1/\sqrt{2} = 0.707$

$$\text{Re}[G(j0.707)] = \frac{-15}{(1+0.5)(1+4 \times 0.5)} = -\frac{10}{3}$$





## 5.2典型环节的频率特性-Nyquist plots

---

**Thank You !**